

ΣΥΓΚΡΙΤΙΚΗ ΜΕΛΕΤΗ ΤΗΣ ΕΠΙΔΡΑΣΗΣ ΦΙΛΤΡΩΝ ΔΙΕΛΕΥΣΗΣ ΧΑΜΗΛΩΝ ΣΥΧΝΟΤΗΤΩΝ ΣΕ ΨΗΦΙΑΚΗ ΕΙΚΟΝΑ*

Δ. ΒΑΪΟΠΟΥΛΟΣ¹, Γ. ΑΙΜ. ΣΚΙΑΝΗΣ¹, Β. ΤΣΑΡΜΠΟΣ¹

ΣΥΝΟΨΗ

Στην παρούσα εργασία μελετάται το πώς επιδρούν στην ψηφιακή εικόνα τα παρακάτω φίλτρα διέλευσης χαμηλών συχνοτήτων: Ιδανικό, Bartlett και Butterworth. Διαπιστώνεται, μετά από μαθηματική ανάλυση, ότι το φίλτρο Bartlett εξασθενίζει το σήμα σε τέτοιο βαθμό, ώστε να μην ενδείκνυται για απομάκρυνση υψησυχνού θορύβου. Το ιδανικό φίλτρο και το φίλτρο Butterworth έχουν καλύτερα αποτελέσματα, ωστόσο το ιδανικό φίλτρο προκαλεί κυματοειδείς παραμορφώσεις στο σήμα. Η επίδραση των φίλτρων εξαρτάται και από τον τύπο του σήματος. Οι προβλέψεις της μαθηματικής ανάλυσης επαληθεύονται με έλεγχο σε συνθετική εικόνα και σε εικόνα ραντάρ. Τα συμπεράσματα αυτής της μελέτης μπορούν να αξιοποιηθούν στην επεξεργασία δούφορων εικόνων και αεροφωτογραφιών.

ABSTRACT

Low-pass filters are generally used for the removal of high frequency noise from a digital image. However, larger targets in a digital image also contain higher frequencies and are severely affected by such filters. The scope of this paper is to examine how the Ideal, Bartlett and Butterworth low-pass filters affect a digital image.

First, we examine how the three filters affect a one-dimensional signal, either in the form of a rectangular pulse or a gaussian pulse and after numerical integration and subsequent graphing we reach the following results: All three filters diminish the brightness values of the image - the Bartlett filter by so much, as to make it unsuitable for low-pass image filtering. A smoother pulse will generally deteriorate more than a sharply defined one. The Butterworth filter is somewhat better, as it retains the form of the original signal, although the Ideal filter provides more amplified brightness values, in the case of rectangular pulses, something that can be attributed to the oscillatory nature of the derived signal (Gibbs phenomenon). For higher cut off frequencies both the Ideal and Butterworth filters seem to retain the form of the original pulse but for a lower cut off frequency the Butterworth filter is preferable.

All theoretical predictions that were derived from the one-dimensional models were tested on a synthetic, test image (a bright disk in a dark background). A low cut off frequency gives a smooth profile, using the Ideal filter and a higher cut off frequency retains the form of the original pulse better, with the added appearance of an oscillatory pattern (Gibbs phenomenon).

Although the two-dimensional results are in accordance with the predictions made from the one-dimensional tests, we decided to try the filters' response with a real, side-scan, radar image from a mountainous area, where there are dark tones (slopes in the radar's shadow), bright tones (slopes that directly reflect the radar beam) and fairly flat, gray-tone glaciers. From these tests we concluded the following :

The Bartlett filter once again proves to diminish the strength of the original signal by far too much and eliminates brightness differences, therefore it is probably unsuitable. Both the Butterworth filter and the Ideal filter give better results, although the glacier (a fairly smooth, low-brightness target) appears too dark (this seems to be a general effect of low pass filters on smooth, medium- to low-brightness targets - their brightness values diminish much more than in the case of strongly defined features). The Ideal filter still exhibits the Gibbs phenomenon, without deforming its basic characteristics too much, giving higher brightness values, while the Butterworth filter retains the form of the original signal better, giving lower brightness values.

The results and conclusions of this paper may be useful in processing digital satellite images and air photographs, in order to detect geological, geomorphological and other targets of interest.

ΛΕΞΕΙΣ ΚΛΕΙΔΙΑ: Φίλτρο χαμηλής διέλευσης, ορθογώνιος παλμός, γκαουσιανό σήμα, ιδανικό φίλτρο, φίλτρο Butterworth, φίλτρο Bartlett, φανόμενο Gibbs, συχνότητα αποκοπής.

KEY WORDS: Low pass filter, rectangular pulse, gaussian signal, ideal filter, Butterworth filter, Bartlett filter, Gibbs phenomenon, cut off frequency.

1. ΕΙΣΑΓΩΓΗ

Η ανάλυση συχνοτήτων μπορεί να αξιοποιηθεί σε διάφορες εφαρμογές της ψηφιακής επεξεργασίας εικόνας με αντικείμενο την Τηλεανάγνωση (Al-Hinai et al. 1991, Watson 1993). Ειδικά, για την απομάκρυνση του υψηλού συχνού θορύβου, μπορούν να χρησιμοποιηθούν φίλτρα διέλευσης χαμηλών συχνοτήτων, που είναι ταχύτερα στην επεξεργασία από μάσκες στο χώρο της εικόνας με μέγεθος πάνω από 5x5 (Richards & Jia 1999). Ωστόσο, υψηλές συχνότητες περιέχουν και οι μεγάλων διαστάσεων στόχοι ενδιαφέροντος, τα χαρακτηριστικά των οποίων μπορούν να αλλοιωθούν οηματικά, διανομής, στην εικόνα φίλτρα στην εικόνα.

Στην παρούσα εργασία, εξετάζεται το τί παραμορφώνται μπορούν να προκαλέσουν στην ψηφιακή εικόνα τα παρακάτω φίλτρα διέλευσης χαμηλών συχνοτήτων: Ιδανικό, Bartlett και Butterworth. Στην αρχή, επιχειρείται μια μαθηματική ανάλυση της επίδρασης των φίλτρων αυτών σε ορθογώνιο παλμό και σε γκαουσιανό σήμα. Ο ορθογώνιος παλμός εξισωθεί στην αναπαράσταση μιας δομής με απότομα μεταβαλλόμενη φωτεινότητα στο περίγραμμά της. Ο γκαουσιανός παλμός, αναπαριστάνει μια δομή με μη καθορισμένο περίγραμμα και ομαλά μεταβαλλόμενη φωτεινότητα. Στη συνέχεια, οι προβλέψεις της μαθηματικής ανάλυσης ελέγχονται σε συνθετική εικόνα και σε εικόνα φαντάρ, στην οποία απεικονίζεται μια περιοχή με παγετώνες.

Τα συμπεράσματα αυτής της συγκριτικής μελέτης μπορούν να αξιοποιηθούν στην επεξεργασία δορυφορικών εικόνων και αεροφωτογραφιών, για τον εντοπισμό στόχων γεωλογικού, γεωμορφολογικού, τοπογραφικού, ή άλλου ενδιαφέροντος.

2. ΜΑΘΗΜΑΤΙΚΗ ΑΝΑΛΥΣΗ

Στην ενότητα αυτή μελετάται η επίδραση των φίλτρων Bartlett, Butterworth και Ιδανικού πάνω σε ορθογώνιο και σε γκαουσιανό παλμό, στη μια διάσταση. Τα προίσματα της μαθηματικής ανάλυσης, μπορούν να αποτελέσουν τον οδηγό για πειραματισμό με ψηφιακές εικόνες.

Η εξίσωση για τον ορθογώνιο παλμό $\text{rect}(x)$ είναι:

$$\text{rect}(x) = \begin{cases} 1, & |x| \leq b \\ 0, & |x| > b \end{cases} \quad (1)$$

κ έναι ανεξάρτητη μεταβλητή που εκφράζει το διάστημα, b είναι το ίμισυ εύρος του παλμού και είναι πάντα θετικό.

Η εξίσωση για το γκαουσιανό παλμό $g(x)$ είναι:

$$g(x) = \exp(-bx^2) \quad (2)$$

Εδώ, το b είναι μια θετική ποσότητα που διαμορφώνει το εύρος του σήματος.

Το ιδανικό φίλτρο $F_{\text{idéal}}(u)$ είναι (Gonzalez & Wintz 1987):

$$F_{\text{idéal}}(u) = \begin{cases} 1, & |u| \leq D_0 \\ 0, & |u| > D_0 \end{cases} \quad (3)$$

κ έναι η χωρική συχνότητα (κυματόριθμος), D_0 είναι η συχνότητα αποκοπής.

Η μαθηματική έκφραση για το φίλτρο Bartlett $F_{\text{Bartlett}}(u)$, είναι, με βάση τους Schrader & Pouncey 1997, η παραχώτετο:

$$F_{\text{Bartlett}}(u) = \begin{cases} 1 - (1/D_0) |u|, & |u| \leq D_0 \\ 0, & |u| > D_0 \end{cases} \quad (4)$$

Το πρώτης τάξης φίλτρο Butterworth $F_{\text{Butter}}(u)$ είναι (Gonzalez & Wintz 1987):

$$F_{\text{Butter}}(u) = [1 + (u/D_0)^2]^{-1/2} \quad (5)$$

Η επίδραση του ιδανικού φίλτρου, καθώς και των φίλτρων Butterworth και Bartlett πάνω στον ορθογώνιο ψηφιακή Βιβλιοθήκη "Θεόφραστος" - Τμήμα Γεωλογίας. Α.Π.Θ.

παλμό και στο γκαουσιανό σήμα, μπορεί να εκφραστεί ως συνέλιξη μεταξύ φίλτρου και σύμπατος. Με βάση τις σχέσεις (1) ως (5) και αξιοποιώντας τις ιδιότητες του μετασχηματισμού Fourier και το θεώρημα της συνέλιξης (Gonzalez & Wintz 1987, Jensen 1996), συνάγονται οι παρακάτω σχέσεις:

$$[f_{\text{ideal}} * \text{rect}](x) = \frac{2}{\pi} \int_0^{\text{Do}} \frac{\sin(bu)}{u} \cdot \cos(ux) du \quad (6)$$

για την επίδραση του ιδανικού φίλτρου στον ορθογώνιο παλμό. $f_{\text{ideal}}(x)$ είναι το ιδανικό φίλτρο στο χώρο των διαστημάτων.

$$[f_{\text{ideal}} * g](x) = \frac{1}{2} \int_0^{\text{Do}} \exp(-u^2/4b) \cdot \cos(ux) du \quad (7)$$

για την επίδραση του ιδανικού φίλτρου στο γκαουσιανό σήμα.

$$[f_{\text{Bartlett}} * \text{rect}](x) = \frac{2}{\pi^{3/2}} \left\{ \int_0^{\text{Do}} \frac{\sin(bu)}{u} \cdot \cos(ux) du - (1/\text{Do}) \int_0^{\text{Do}} \sin(bu) \cos(ux) du \right\} \quad (8)$$

για την επίδραση του φίλτρου Bartlett στον ορθογώνιο παλμό. $f_{\text{Bartlett}}(x)$ είναι το φίλτρο Bartlett στο χώρο των διαστημάτων.

$$[f_{\text{Bartlett}} * g](x) = \frac{1}{2\sqrt{\pi b}} \left\{ \int_0^{\text{Do}} \exp(-u^2/4b) \cos(ux) du - (1/\text{Do}) \int_0^{\text{Do}} u \exp(-u^2/4b) \cos(ux) du \right\} \quad (9)$$

για την επίδραση του φίλτρου Bartlett στο γκαουσιανό σήμα.

$$[f_{\text{Butter}} * \text{rect}](x) = (2/\pi) \int_0^{\infty} \frac{\sin(bu)}{u \sqrt{1 + (u/\text{Do})^2}} \cdot \cos(ux) du \quad (10)$$

για την επίδραση του φίλτρου Butterworth στον ορθογώνιο παλμό. $f_{\text{Butter}}(x)$ είναι το φίλτρο Butterworth στο χώρο των διαστημάτων.

$$[f_{\text{Butter}} * g](x) = \frac{1}{2\sqrt{\pi b}} \int_0^{\infty} \frac{\exp(-u^2/4b)}{\sqrt{1 + (u/\text{Do})^2}} \cdot \cos(ux) du \quad (11)$$

για την επίδραση του φίλτρου Butterworth στο γκαουσιανό σήμα.

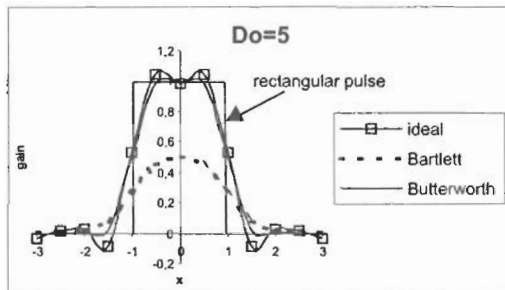
Τα ολοκληρώματα των σχέσεων (6) ως (11) υπολογίστηκαν αριθμητικά, για διάφορες τιμές των x και D_o , θέτοντας:

$$b = 1 \quad (12)$$

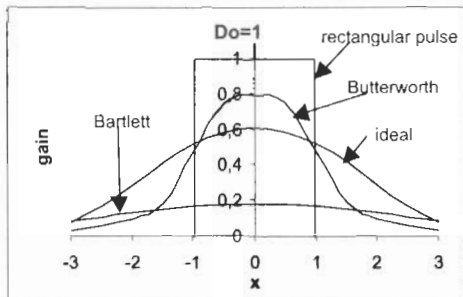
Οι αριθμητικές ολοκληρώσεις, προεγματοποιήθηκαν με το λογισμικό Scientific Workplace και, στη συνέχεια, έγιναν γραφικές παραστάσεις που εξυπηρετούν στο να σχηματίσει κανείς μια διαγέστερη εικόνα για την επίδραση των διαφόρων φίλτρων χαμηλής διέλευσης σε σήμα.

Στο (σχ. 1), εμφανίζεται η επίδραση των τριών φίλτρων χαμηλής διέλευσης σε ορθογώνιο παλμό, για σχετικά υψηλή συχνότητα αποκοπής. Είναι φανερό ότι το φίλτρο Bartlett εξασθενίζει σε μεγάλο βαθμό το αρχικό σήμα, ενώ τα φίλτρα ιδανικό και Butterworth το εξυμαλύνουν χωρίς να μειώσουν το πλάτος του. Οι κυματισμοί, που παρατηρούνται στην επίδραση του ιδεατού φίλτρου, είναι γνωστοί από τη βιβλιογραφία ως «φανούμενο Gibbs» (Papoulis 1962) και οφείλονται στην αισιόνεχεια στη συμπεριφορά του ορθογώνιου παλμού. Λόγω του φανούμενου Gibbs, το ιδεατό φίλτρο λειτουργεί ενιοχυτικά πάνω στον ορθογώνιο παλμό, όπως φαίνεται στο (σχ. 1). Για τη συγκενδιμένη συχνότητα αποκοπής, υπάρχει ένα τοπικό ελάχιστο στη θέση $x=0$, δημοσιεύοντας σε άλλες περιπτώσεις το φίλτρο αριθμητικό σήμα έχει τη μέγιστη τιμή στη συγκενδιμένη θέση.

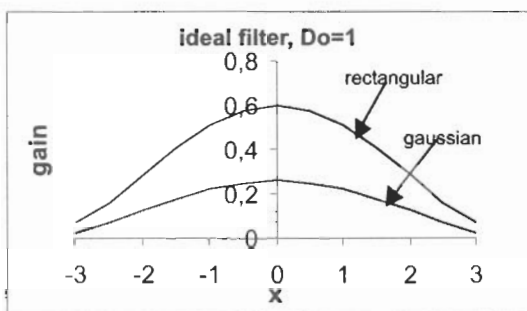
Στο (σχ. 2), παρουσιάζεται η επίδραση των τριών φίλτρων χαμηλής διέλευσης πάνω στον ορθογώνιο παλμό για χαμηλή συχνότητα αποκοπής. Και τα τρία φίλτρα μειώνουν σημαντικά το πλάτος του παλμού, όμως το φίλτρο Bartlett ουσιαστικά μηδενίζει τον παλμό. Το φίλτρο Butterworth διατηρεί σε κάποιο βαθμό το περιγραμματικό του παλμού.



Σχ. 1. Επίδραση των φίλτρων χαμηλής διέλευσης σε ορθογώνιο παλμό για υψηλή συχνότητα αποκοπής.
Fig. 1. The effect of low pass filtering on a rectangular pulse, with a high cut off frequency.

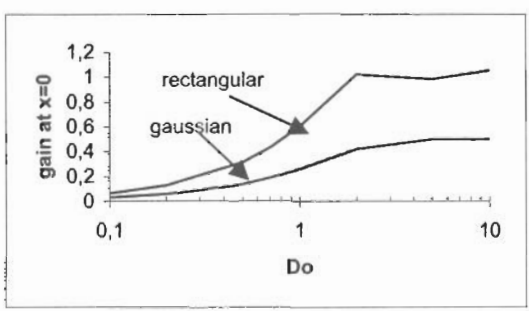


Σχ. 2. Επίδραση των φίλτρων χαμηλής διέλευσης σε ορθογώνιο παλμό για χαμηλή συχνότητα αποκοπής.
Fig. 2. The effect of low pass filtering on a rectangular pulse, with a low cut off frequency.



Σχ.3. Επίδραση ιδεατού φίλτρου σε ορθογώνιο παλμό και σε γκαουνσιανό σήμα με κοινό πλάτος, ίσο με τη μονάδα.

Fig.3. The effect of the ideal filter on a rectangular and on a gaussian pulse, with a common amplitude equal to one.



Σχ.4. Μεταβολή του πλάτους των ορθογώνιων και των γκαουνσιανών παλμών για $x=0$, λόγω της επίδρασης ιδεατού φίλτρου, ως προς τη συχνότητα αποκοπής.

Fig.4. Amplitude variation of filtered rectangular and gaussian signals, at $x=0$, against cut off frequency. The two signals are filtered by the same ideal filter.

τερο από τον ορθογώνιο παλμό, όταν εφαρμοστεί το ίδιο φίλτρο χαμηλής διέλευσης, δύος φαίνεται στο (σχ. 3). Στο σχήμα αυτό αναπαριστάνεται η επίδραση ιδεατού φίλτρου, όμως η ίδια παρατήρηση ισχύει και για την επίδραση φίλτρου Butterworth ή φίλτρου Bartlett. Το ιδεατό φίλτρο δεν προκαλεί κυματισμό (φαινόμενο Gibbs) στο γκαουνσιανό σήμα, ακόμα και αν η συχνότητα αποκοπής είναι σχετικά μεγάλη.

Παρουσιάζει ενδιαφέρον η ποσοτική εκτίμηση της εξασθενίσης των πλάτους των σήματος για διάφορες συχνότητες αποκοπής D_o και για το σκοπό αυτό έγινε μια γραφική παράσταση της ενίσχυσης των σήματος για $x=0$, για διάφορες συχνότητες αποκοπής. Για $x=0$, έχουμε σχεδόν μέγιστο πλάτος στο φίλτρο αριστερού σήμα (στον ορθογώνιο παλμό η μέγιστη τιμή μπορεί να είναι κάπως μεταποιημένη, λόγω του φαινομένου Gibbs). Η γραφική παράσταση παρουσιάζεται στο (σχ. 4). Παρατηρούμε ότι στις μικρές συχνότητες αποκοπής, το φίλτρο αριστερού σήμα εξασθενεί σημαντικά, και στους δυο παλμούς. Από την άλλη πλευρά, στις μεγάλες συχνότητες αποκοπής, ο μέν φίλτρο αριστερού σημα στον ορθογώνιο παλμό αποτά, ουσιαστικά, το πλάτος των αρχικού σήματος (εξασθένηση μηδέν), ή και ενισχύεται κάπως, ο δε φίλτρο αριστερού γκαουνσιανό παλμός παραμένει σημαντικά εξασθενημένος, με πλάτος που δεν υπερβαίνει το 50% των πλάτους των αρχικού παλμού. Ανάλογες παρατηρήσεις, ως προς το πλάτος των φίλτρο αριστερού παλμών, μπορούν να γίνουν και για τα φίλτρα Bartlett και Butterworth.

Η διαφοροποιημένη αυτή επίδραση των φίλτρων διέλευσης χαμηλών συχνοτήτων σε ορθογώνιο παλμό (δομή με απότομα μεταβαλλόμενη φωτεινότητα ως προς τον περίγυρο) και σε γκαουνσιανό παλμό (δομή με ομιλά μεταβαλλόμενη φωτεινότητα ως προς τον περίγυρο) μπορεί να έχει σημαντικές συνέπειες ως προς την αντίθετη φωτεινότητας φίλτρο αριστερού γκαουνσιανής φωτισμού εικόνας. Μια σχετικά φωτεινή δομή στην αρχική εικόνα, μπορεί να παρουσιαστεί ψηφιακή θιβλοθήκη ή θεόρρεαση στην ξειραγία ή θεομή που η φωτεινότητά της

μεταβάλλεται απότομα ως προς τον περίγυρό της.

Διατυπώνοντας συνοπτικά τα συμπεράσματα από την παραπέντε μαθηματική ανάλυση, επισημαίνουμε ότι και τα τρία φίλτρα, και ιδίως το φίλτρο Bartlett, μπορούν να μειώσουν ομαλά τη φωτεινότητα του στόχου ενδιαφέροντος, κυρίως αν αυτή μεταβάλλεται ομαλά με τη θέση (γκαουνιανό σήμα). Στις σχετικά μεγάλες συχνότητες αποκοπής, το ιδανικό φίλτρο και το φίλτρο Butterworth διατηρούν το πλάτος και το περιγύραμα του σήματος. Στις σχετικά χαμηλότερες συχνότητες, φαίνεται να παρουσιάζει το φίλτρο Butterworth ένα συγκριτικό πλεονέκτημα, όσον αφορά στη διατήρηση του περιγράμματος του αρχικού σήματος.

Οι προβλέψεις της μαθηματικής ανάλυσης, ελέγχθηκαν με συνθετικές εικόνες και με εικόνες φαντάρ.

3. ΠΕΙΡΑΜΑΤΙΣΜΟΣ ΜΕ ΣΥΝΘΕΤΙΚΗ ΕΙΚΟΝΑ

Οι θεωρητικές προβλέψεις με τα μονοδιάστατα μοντέλα δοκιμάστηκαν, στις δύο διαστάσεις, στην παρακάτω εικόνα, που σχηματίστηκε με τη βοήθεια του λογισμικού Photoshop, στη συνέχεια μετατράπηκε σε αρχείο .img και ως τέτοια υπέστη επεξεργασία από το λογισμικό ERDAS.

Στο (σχ. 5) παρουσιάζεται η συνθετική εικόνα με το φωτεινό δίσκο και στο (σχ. 6) μια τομή που διασχίζει το δίσκο.

Σχ. 5. Συνθετική εικόνα.

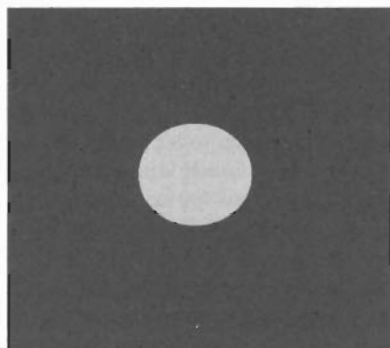


Fig. 5. A synthetic image.

Σχ.6. Τημές φωτεινότητας εικονοστοιχείον κατά μήκος τομής που διασχίζει το φωτεινό δίσκο της συνθετικής εικόνας.

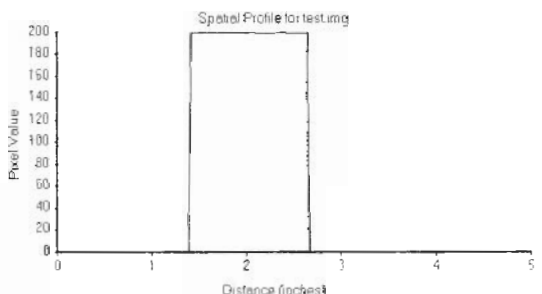
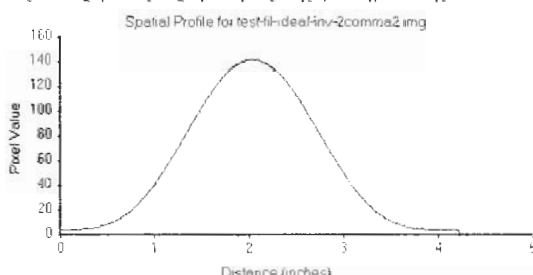


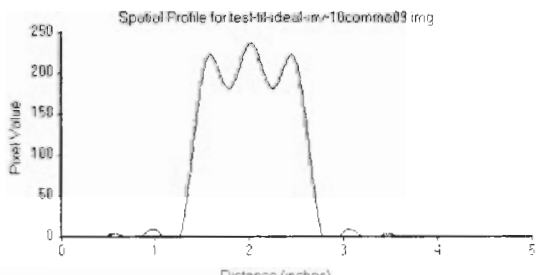
Fig. 6. Pixel Brightness Values along a profile crossing the bright disk of the synthetic image.

Στη συνθετική εικόνα εφαρμόστηκε ιδανικό φίλτρο διέλευσης χαμηλών συχνοτήτων, με συχνότητα αποκοπής $D_0 = 1/b$ (b η απόσταση του κυριλικού δίσκου). Η εικόνα που προέκυψε ήταν πιο θαμπή και με φθίνουσα φωτεινότητα από το κέντρο του δίσκου προς την περιφέρεια. Στο (σχ. 7), παρουσιάζεται τομή της φίλτρωσης εικόνας, όπου όμως τώρα η φωτεινότητα έχει μια ομαλή συμπεριφορά και μειωμένο πλάτος, σύμφωνα με τις θεωρητικές προβλέψεις της μαθηματικής ανάλυσης.



Σχ. 7. Τομή που προκύπτει από επεξεργασία της συνθετικής εικόνας με ιδανικό φίλτρο και χαμηλή συχνότητα αποκοπής.

Fig. 7. A profile of the processed synthetic image by the ideal filter with a lowpass filter. Βιβλιοθήκη "Θεόφραστος" - Τιμήμα Έπειλογής από Πυγούτη.



Σχ. 8. Τομή που προκύπτει από επεξεργασία της συνθετικής εικόνας με ιδανικό φίλτρο και υψηλή συχνότητα αποκοπής.

Fig. 8. A profile of the processed synthetic image by the ideal filter with a highpass filter. Βιβλιοθήκη "Θεόφραστος" - Τιμήμα Έπειλογής από Πυγούτη.

Στη συνέχεια, εφαρμόστηκε στη συνθετική εικόνα ιδανικό φίλτρο με σχετικά νηφηλή συγχύστητα αποκοπής (πενταπλάσια από την προηγούμενη) και προέκυψε η τομή του (σχ. 8). Μπορεί κανείς να παρατηρήσει, ότι το πλάτος του σήματος είναι κατά βάση (διό με αυτό της αρχικής εικόνας και κατά τι μεγαλύτερο σε ορισμένες δέσεις. Οι επί μέρους διακυμάνσεις της φωτεινότητας, φερείλονται στο φαινόμενο Gibbs.

Γενικά, ο πειραματισμός με τη συνθετική εικόνα έδωσε αποτελέσματα που βρίσκονται σε συμφωνία με τις θεωρητικές προβλέψεις, όχι μόνο ως προς την επίδραση του ιδανικού φίλτρου, αλλά και ως προς την επίδραση των φίλτρων Butterworth και Bartlett. Είναι όμως σημαντικό να δοξιμάσει κανείς την ώχρη της μαθηματικής ανάλυσης που πραγματοποιήθηκε σε πραγματικά δεδομένα.

4. ΕΦΑΡΜΟΓΗ ΣΕ ΕΙΚΟΝΑ PANTAP

Στις εικόνες που λαμβάνονται από το φυσικό κόσμο, οι απεικονίζόμενοι στόχοι δε διαθέτουν την απλότητα και την κανονικότητα ενός μαθηματικού μοντέλου. Με τη μαθηματική όμως ανάλυση, μπορούν να διατυπωθούν προβλέψεις που να αυτοποιήσονται, σε ορισμένο βαθμό, στην πραγματικότητα. Εξάλλου, ο απαγωγικός συλλογισμός μπορεί να οδηγήσει σε συμπεράσματα με ευρύτερο πεδίο αναφοράς από όσο η εμπειρική μελέτη ενός συγκεκριμένου συνόλου δεδομένων. Για αυτούς τους λόγους, πιστεύουμε πως έχει ενδιαφέρον η σύγκριση των προβλέψεων που αποδέουν από τη μαθηματική ανάλυση, με πραγματικά δεδομένα, ώστε να ελεγχθούν οι θεωρητικές προβλέψεις και να συνεχιθούν αξιόπιστα, κατά το δυνατόν, συμπερίες.

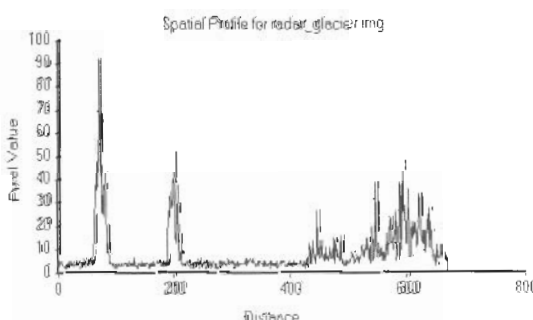
Στην εικόνα του (σχ. 9), που έχει ληφθεί από ραντάρ πλευρικής σάρωσης, μπορεί κανείς να δει τις κλιτίς μιας οδεινής περιοχής πάνω στις οποίες προσπίπτει η μικροκυματική ακτινοβολία. Οι κλιτίς αυτές έχουν έντονη φωτεινότητα. Εμφανίζονται επίσης και περιοχές σχετικά χαμηλής φωτεινότητας, με πραγματικά δεδομένα, που αντιστοιχούν σε παγετώνες.

Στην τομή από την εικόνα ραντάρ (σχ. 10), διακρίνονται δύο περιοχές με απότομες μεταβολές φωτεινότητας, που αντιστοιχούν σε κλιτίς που εκτίθενται στην ακτινοβολία του ραντάρ, καθώς και μια ομαλότερα μεταβαλλόμενη περιοχή τιμών φωτεινότητας με μικρότερο πλάτος (στο διάστημα από 400 ως 500 μονάδες απόστασης στην κλίμακα της αποτύπωσης στην οθόνη του υπολογιστή), που αντιστοιχεί σε παγετώνα.

Στην εικόνα ραντάρ εφαρμόστηκαν τα φίλτρα ιδανικό, Bartlett και Butterworth, αξιοποιώντας το λογισμικό ERDAS και επιλέγοντας συχνότητα αποκοπής ίση με 50. Η τομή του (σχ. 11) αντιστοιχεί σε αυτήν του (σχ. 10) και προσκύπτει από την εφαρμογή του ιδανικού φίλτρου στην εικόνα του ραντάρ. Παρατηρούμε ότι η καμπύλη φωτεινότητας του (σχ. 11) έχει εξασθενήσει σε σχέση με αυτήν του (σχ. 10) και οι μέγιστες τιμές παρουσιάζονται μειωμένες. Η εξασθένηση είναι πιο έντονη στην περιοχή τιμών φωτεινότητας του παγετώνα, καθότι η περιοχή αυτή, στην τομή της αρχικής εικόνας (σχ. 9), παρουσιάζει μια πιο ομαλή («γκαλούσιανη») συμπεριφορά σε σχέση με τις άλλες περιοχές τοπικού μεγίστου.



Σχ. 9. Εικόνα ραντάρ πλευρικής σάρωσης από περιοχή με παγετώνες (γραπτός τόνος).
Fig. 9. An image of an area covered with glaciers (gray tones), obtained by a side scanning radar.



Σχ. 10. Τομή της εικόνας ραντάρ. Η περιοχή από 400 ως 500 μονάδες απόστασης αντιστοιχεί σε παγετώνα.
Fig. 10. A profile of the radar image. The area between 400 and 500 distance units corresponds to a glacier.

Σχ. 11. Εφαρμογή ιδανικού φίλτρου στην εικόνα ραντάρ.
Fig. 11. Application of the ideal filter to the radar image.

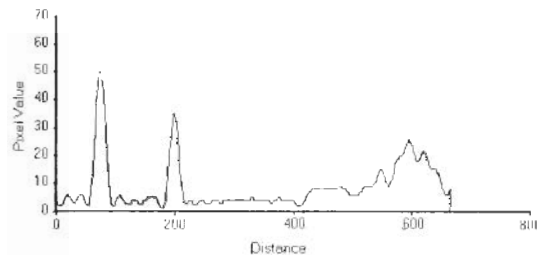


Fig. 11. Application of the ideal filter on the radar image.

Σχ. 12. Εφαρμογή φίλτρου Bartlett στην εικόνα φαντάρ.

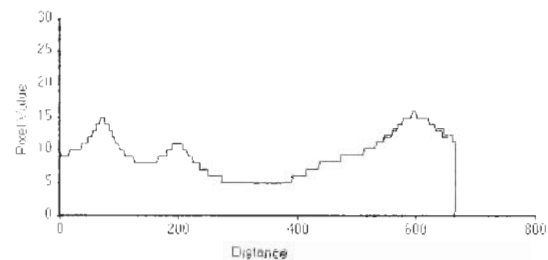


Fig. 12. Application of the Bartlett filter on the radar image.

Σχ. 13. Εφαρμογή φίλτρου Butterworth στην εικόνα φαντάρ.

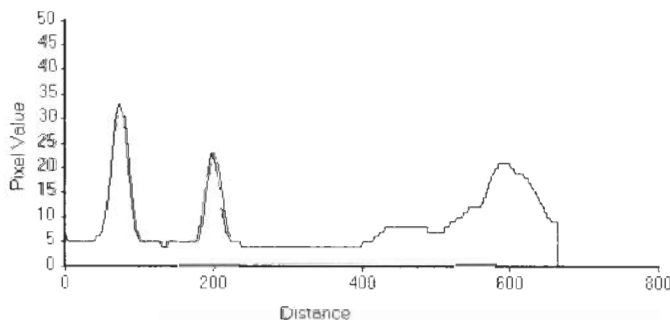


Fig. 13. Application of a Butterworth filter on the radar image.

Η τομή του (σχ. 12) προκύπτει από την εφαρμογή του φίλτρου Bartlett στην αρχική εικόνα. Εδώ, η εξασθένηση είναι μεγάλη, και για τις τρεις περιοχές τιμών φωτεινότητας, όπως εξάλλου έδειξε και η μαθηματική ανάλυση.

Η τομή του (σχ. 13) προκύπτει από επεξεργασία της εικόνας φαντάρ με φίλτρο Butterworth. Εδώ, η εξασθένηση είναι σαφώς μικρότερη από όσο στην τομή που αντιστοιχεί στο φίλτρο Bartlett, όμως τα πλάτη των περιοχών που αντιστοιχούν στις κλιτύς είναι μικρότερα από αυτά της τομής που προκύπτει από το ιδανικό φίλτρο. Φαίνεται πως στην περίπτωση του ιδανικού φίλτρου, το φαινόμενο Gibbs συνέβαινε σε μια σχετική αδέηση των πλατών της τομής.

5. ΣΥΜΠΕΡΑΣΜΑΤΑ-ΣΥΖΗΤΗΣΗ

Η εφαρμογή φίλτρου διέλευσης χιμηλών συχνοτήτων σε ψηφιακή εικόνα, μπορεί να επηρεάσει ομηριανικά το πλάτος του σήματος που αντιστοιχεί σε στόχο ενδιαφέροντος. Αυτή η εξασθένηση, που εξαρτάται από τον τύπο του σήματος, μπορεί να προκαλέσει ομηριανικές μεταβολές στην αντίθετη φωτεινότητα. Στόχοι που στην πρωτογενή εικόνα αποτυπώνονται με σχετικά μεγαλύτερη φωτεινότητα ως προς άλλους στόχους, μπορούν, μετά το φίλτρο Butterworth, να αποτυπωθούν με σχετικά μικρότερη φωτεινότητα. Αν, στην επεξεργασμένη εικόνα, πρόκειται να γίνει άμεση οπτική ερμηνεία, αυτό ίσως να μην είναι σοβαρό πρόβλημα, στο βαθμό που αναγνωρίζονται, με ποιοτικούς όρους, οι στόχοι ενδιαφέροντος. Αν όμως οι τιμές φωτεινότητας της επεξεργασμένης εικόνας συνδυαστούν με τα δεδομένα άλλων εικόνων, με σκοπό να σχηματιστούν λόγοι φανταστικών ζωνών ή να εφαρμοστούν αλγόριθμοι πολύφασματικής ταξινόμησης, τότε μπορούν να υπεισέλθουν σφάλματα κατά την ψηφιακή ανάλυση και ερμηνεία του τελικού προϊόντος. Τέτοια σφάλματα μπορούν να αποφευχθούν, αν, μετά την εφαρμογή του φίλτρου διέλευσης χιμηλών συχνοτήτων, εξεταστούν στις λόγοι φωτεινότητας μεταξύ των διαφόρων στόχων. Αν οι λόγοι δε διαφέρουν πολύ από τους αντίστοιχους της αρχικής εικόνας, τότε μπορεί να εκτιμηθεί ότι η αρχική εικόνα δεν έχει αλλοιωθεί ομηριανικά. Στην αντίθετη περίπτωση, θα πρέπει να μεταβληθεί η συχνότητα αποκοπής για να αποφευχθούν ή να περιοριστούν τέτοιους είδους σφάλματα. Με διάφορες δοκιμές, μπορεί να βρεθεί η βέλτιστη συχνότητα αποκοπής, ώστε και ο υψησυγχρονός θόρυβος να απομακρυνθεί και να μη χαθεί πληροφορία ψηφιακής βιβλιοθήκης "Θεόφαραστος". Τμήμα Γεωλογίας, Α.Π.Θ.

Από τα τρία φίλτρα που μελετήθηκαν (ιδανικό, Bartlett και Butterworth), διαπιστώθηκε ότι το φίλτρο Bartlett προκαλεί τη μεγαλύτερη εξασθένηση στο σήμα, με αποτέλεσμα να γίνονται διοδιάγραμμοι οι στόχοι ενδιαφέροντος. Για το λόγο αυτό, εκτιμούμε πως δεν προσφέρεται για την απομάκρυνση των νηφάτυχων θορύβου. Το ιδανικό φίλτρο και το φίλτρο Butterworth, έχουν καλύτερα αποτέλεσματα, καθότι δεν προκαλούν τόσο μεγάλες εξασθενήσεις. Στην περίπτωση του ιδανικού φίλτρου, εκδηλώνεται το φανάριον Gibbs, που προκαλεί κάποιες παραμορφώσεις στο σήμα, χωρίς όμως να αλλοιώνει τα βασικά του χαρακτηριστικά, όταν η συχνότητα αποκοπής είναι σχετικά υψηλή. Οι στρεβλώσεις αυτές, μπορούν μάλιστα να συμβαλλούν στο να εκδηλωθεί με μεγαλύτερη ευχρήσιμη ο στόχος ενδιαφέροντος. Τέλος, το φίλτρο Butterworth φαίνεται να διατηρεί το περιγραμμα του αρχικού στόχου, χωρίς σημαντικές στρεβλώσεις.

Τα ποδίσματα της εργασίας αυτής, μπορούν να αξιοποιηθούν στην επεξεργασία αεροφωτογραφιών, δορυφορικών εικόνων και εικόνων φαντάρων, με σκοπό την αναγνώριση γεωλογικών, γεωμορφολογικών, τοπογραφικών και άλλων στόχων ενδιαφέροντος. Με μια κατάλληλη επιλογή της συχνότητας αποκοπής, μπορούν να εκφραστούν ευχρηστέρα (απαλλαγμένες από ιψίσυχο θόρυβο) εκτελιμένες γεωλογικές δομές όπως πτυχές, επαφές, λιθολογικές ενότητες και πιθανώς ζώνες εξαλλοίωσης αν έχουν πανοποιητική έκπαση. Επιλέγοντας μια βέλτιστη συχνότητα αποκοπής μπορεί να αποφευχθεί σοβαρή αλλοίωση της φωτεινότητας των γεωλογικών ή εδαφολογικών στόχων που εμφανίζονται στην εικόνα και σαν αποτέλεσμα να πραγματοποιηθεί μια πιο αξιόπιστη ταξινόμησή τους.

BIBLIOGRAPHIA

- AL-HINAI, K.G., KHAN, M.A. & CANAS, A.A., 1991: Enhancement of Sand Dune Texture from Landsat Imagery Using Difference of Gaussian Filter. *International Journal of Remote Sensing* 12, 1063-1069.
- GONZALEZ, R.C. & WINTZ, P., 1987: *Digital Image Processing*. Addison-Wesley. Reading, Massachusetts.
- JENSEN, J. R., 1996: *Introductory Digital Image Processing, A Remote Sensing Perspective*. Prentice Hall. New Jersey.
- PAPOUCHIS, A., 1962: *The Fourier Integral and its applications*. McGraw-Hill. New York.
- RICHARDS, J.A. & JIA, X., 1999: *Remote Sensing Digital Image Analysis*. Springer. Berlin.
- SCHRADER, S. & POUNCEY, R., 1997: *ERDAS Field Guide*. ERDAS, Inc. Atlanta.
- WATSON, K., 1993: Processing Remote Sensing Images Using the 2-D FFT – Noise Reduction and Other Applications. *Geophysics* 58(6), 835-852.